

# 从单摆到混沌

赵凯华

(续前) 图7是一张扩展的相图,对应于不同的  $n$ ,  $\theta = 2n\pi$  对应图上不同的点。它们被看成是不同的吸引中心。从图7可以看出,分界线把相平面分隔成不同的区域,从每一区域中的任一点出发,轨线都流向该区中心的吸引子。我们把这样的区域叫做该吸引子的吸引域 (basin of attraction), 在

图7中相邻的吸引域用有无阴影区分开来。

### (3) 有阻尼有驱动力的情形

无阻尼的保守系统只是真实物理系统的一种抽象,实际系统总是多少有一点阻尼的。然而,从上面的讨论中我们看到,只要有任意小的阻尼,就会把保守系统相图5a的拓扑结构(如闭合轨线、异宿轨线)完全破坏了。所以保守系统都是(拓扑)结构不稳定的,或者叫做非粗壮的。

自治系统的相轨道不会相交,因为力不依赖于时间,从任何初始运动状态出发系统的演化都是完全确定的,即通过每一相点的轨线是唯一的。无周期性驱动力时,单摆是一个一维的自治系统,其相空间是二维的。加了周期性驱动力,它成了一维的非自治系统,相空间虽仍是二维的,但相轨道可以相交。若像(4)式中那样增加一个变量  $\phi$ ,把相空间扩展到三维,相轨道就不相交了。如果又把三维投影到二维,相轨道仍旧是相交的。为了便于显示,我们还是使用二维的表示法。

在任意大振幅下受驱动阻尼摆的运动十分复杂。首先,用解析方法去解这个问题是不可能的。只能在

给定参量和初始值后作数值计算:其次,从无量纲的运动方程(3)来看,有三个独立参量:阻尼  $\beta$ 、驱动力的幅值  $f$  和频率  $\Omega$  详尽无遗地穷举,并计算出具有各种参量组合的情况,也几乎是不可能的。再者,即使用计算机把个别相轨道算出来,它往往在二维的相平面上自相交叠缠绕,使人一下子看不出个所以来。如果在计算机屏幕上监视相轨道的发展,可以发现,起初它有一段暂态过程,最后它将收缩到一个简单得多的终态集上。今后我们将把注意力集中在终态集上。为了使读者得到感性认识,下面先给出一批计算结果,取参量值  $\beta = 1/4, \Omega = 2/3$ ,  $f$  则由小到大取一系列数值。

先看图8。这里  $f = 1.025$  ( $f$  是以摆锤重量  $mg$  为单位的)。图的上部是相图,下部是速度  $\dot{\theta}$  的波形图。除了波形发生畸变,且左右变得不对称外,最大的新特点是出现了两个终态,各自分享着的相平面上一定的初态。显然,两个终态都对应周而复始的周期解。

现在来看图9-14,先只看每张图的上半相图部分。在图9中  $f$  增至1.07,其新特征是出现了二倍的周期,即在驱动力的两个周期内运动才恢复原状,如此

周而复始地运动下去。图10中  $f$  增至1.15,情况就更复杂了,相点貌似无规地游荡着,永不重复自己走过的路。说它“貌似”无规,是因为相点并不以连续的概率分布在相平面上随机地行走,它留下的足迹显然是有某种内在结构的。图11和12分别对应  $f$  增至1.35和1.45的情况,运动恢复了较简单的形式:一倍和二倍的周期解。与图8和9不同的是,其运动不是往复摆动,而是单向的旋转。当  $f$  增大到1.47时(图13),出现了四倍周期的旋转运动。 $f$  大到1.50时(图14),又出现貌似无规的运动。

我们曾说,相图方法可把

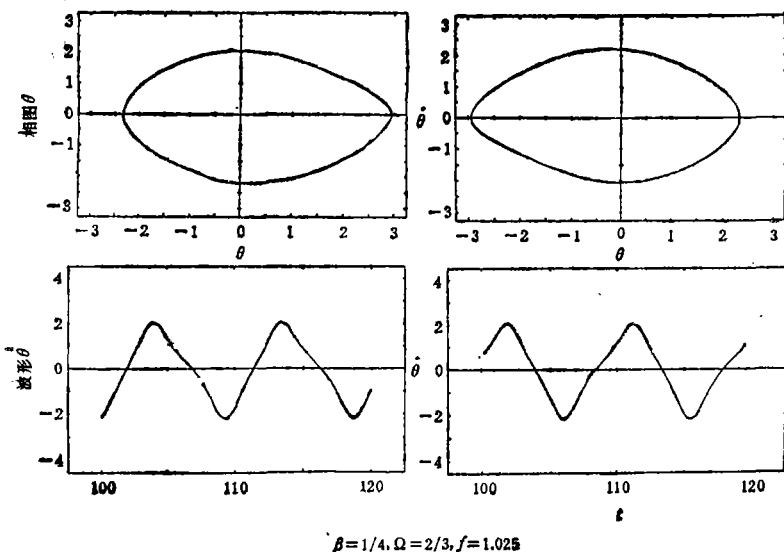


图8 单摆相图与波形的对称破缺

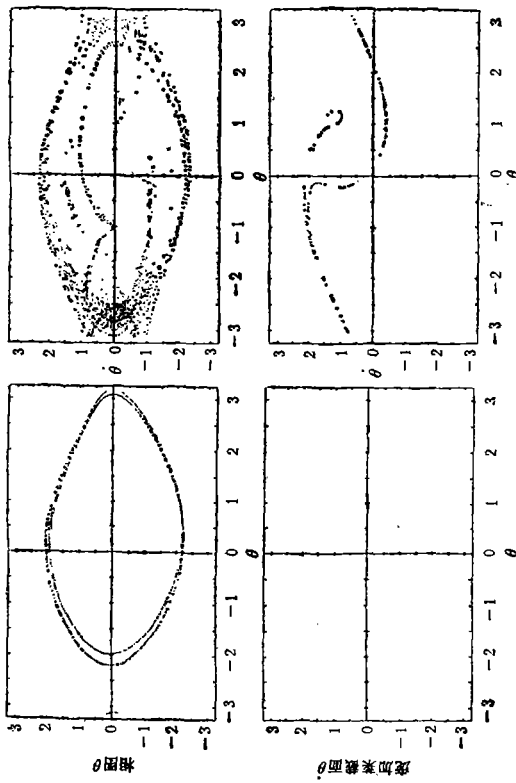


图 9 单摆的相图与庞加莱截面

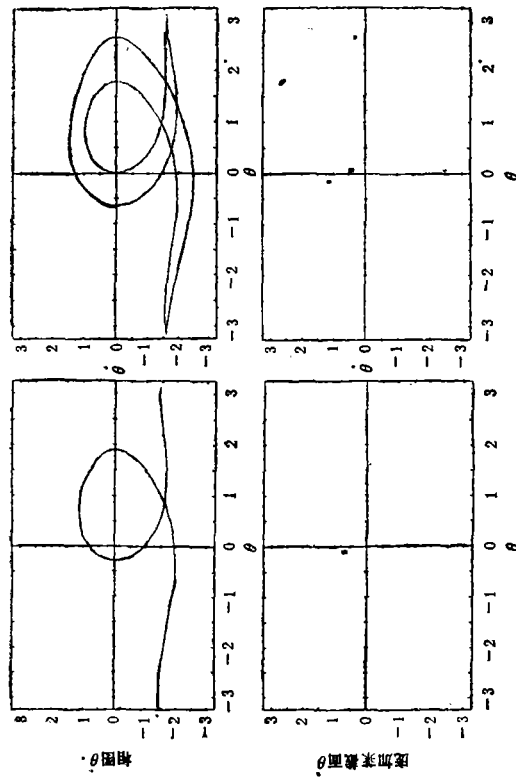


图 11 单摆的相图与庞加莱截面

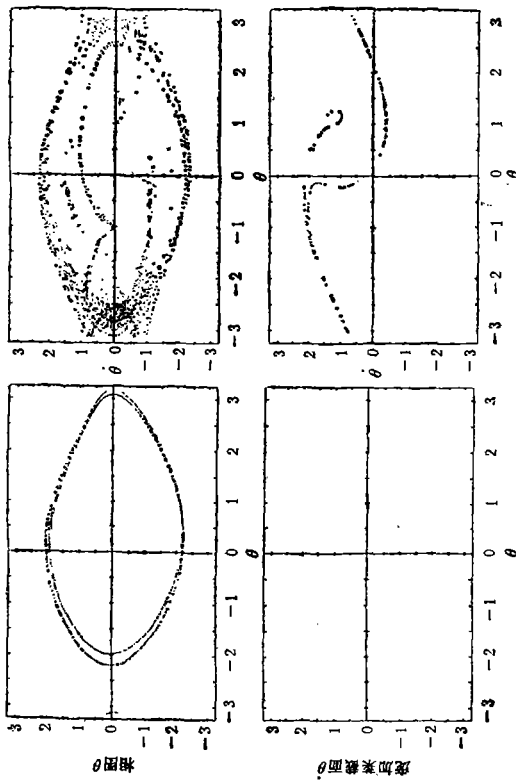


图 10 单摆的相图与庞加莱截面

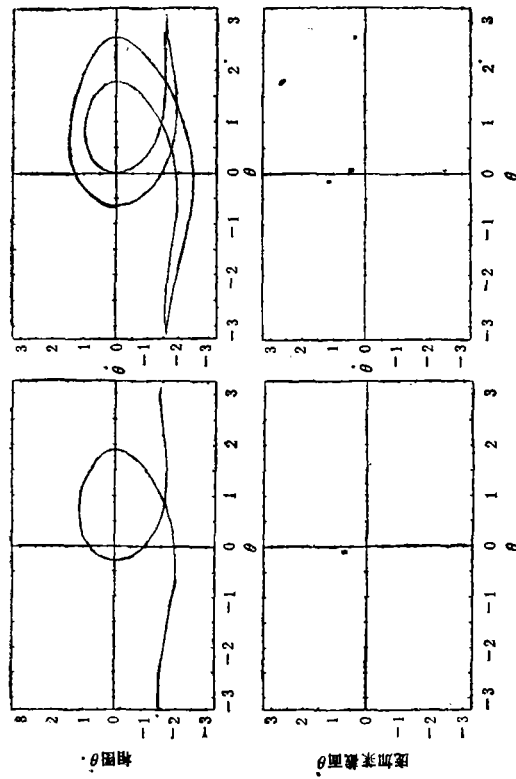


图 12 单摆的相图与庞加莱截面

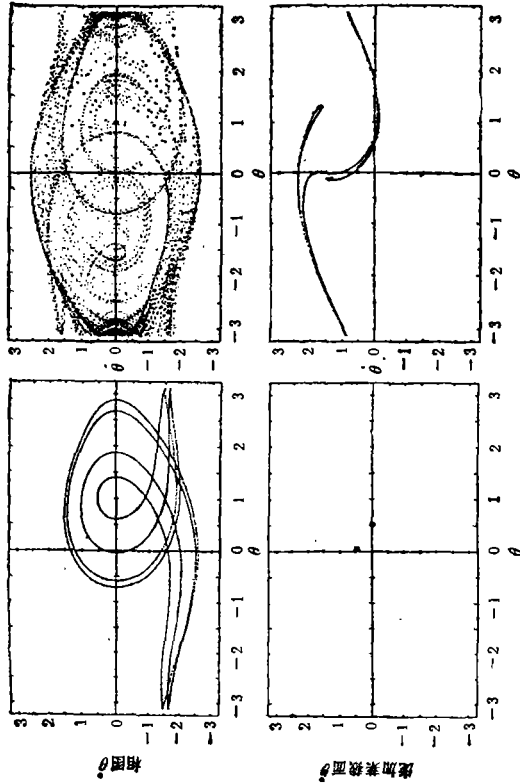


图 13 单摆的相图与庞加莱截面

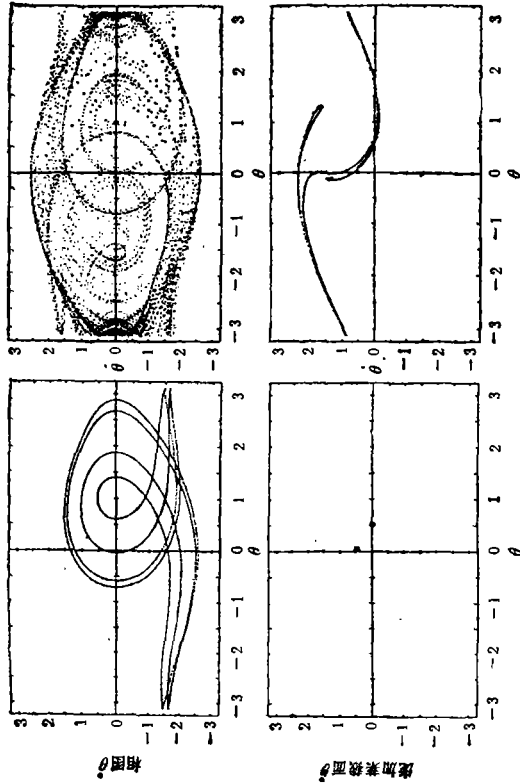


图 14 单摆的相图与庞加莱截面

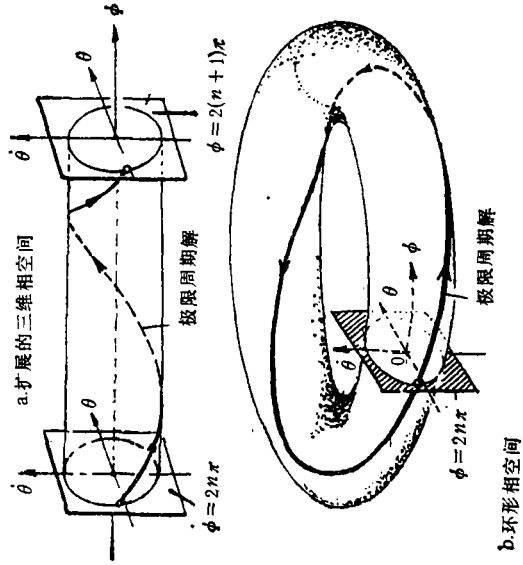


图 15 庞加莱截面法

复杂运动的描绘简化。我们看到,它简化得还不够、特别是遇到图 10 和 14 那种情况、因为有些倍周期运动的倍数是很高的,其轨线看起来也可能很乱,一时较难与非周期的运动区分开来。庞加莱还发明了另一种更简化的描绘方法,叫做庞加莱截面法,用此法可较容易地判断解是否周期的。

让我们暂时按(4)式增加一个变量  $\phi$ ,把相空间扩大到三维。在  $\phi$  方向每隔一个周期  $2\pi$  取一个截面,如图 15a 所示,也可以像图 15b 那样把相空间弯成一个圆环,观察轨线穿过环上唯一截面的情况。这好像用与驱动力同频的闪频仪来拍照,把一个连续的运动化为在时间上离散的图象来处理。轨线下一次穿过截面的点可看作是前次穿过点的一种映射。这截面称为庞加莱截面,这映射称为庞加莱映射,若运动是简单周期的,则相轨道每次都从同一处穿过庞加莱截面,即在庞加莱截面上只有一个不动点(见图 15b)。如果运动是二倍周期的,则在庞加莱截面上有两个不动点,四倍周期的有四个不动点等等。如果运动无周期性,在庞加莱截面上将有无穷多个点。图 9-14 的下半部是与上半相应的庞加莱截面,用它们来判断运动是否周期的,以及几倍周期,可一目了然,(为了能把庞加莱截面上的孤立点看清楚,图中把它们夸大成矩形小斑。)

### § 3. 自激振荡与极限环

自激振荡与受迫振荡不同。它是在非周期驱动力的作用下所作具有确定振幅和频率的持久振荡。在数学上相当于一个孤立的闭轨道,或孤立的周期解,即极限环,这只有在非保守的、非线性的变阻尼系统中才可能发生。保守系统中也有周期解。但不是孤立的,而且是结构不稳定的。受迫振动系统是非自治系统,而自激系统是自治系统。一维的自治系统,我们可以在二维的相平面上研究它。

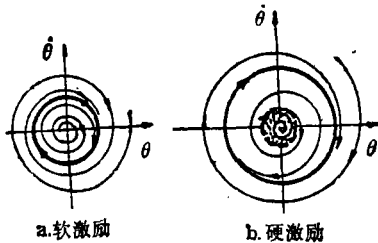


图 16 自激振荡的相图

自激振荡有软硬两种激励方式,它们相图的结构分别由图 16a,b 所示。在软激励的情况里有一个稳定的极限环,它外边的轨线向内卷缩,里边的轨线向外扩展,从两侧渐近地逼近它。此时极限环内有个不稳定的不动点,或者叫源点 (source),其周围轨线是向外发散的。在硬激励的情况有两个极限环,外边一个是稳定的,里边一个是不稳定的,所谓不稳定的极限环,

其外边的轨线向外扩展,里边的轨线向内卷缩,从两侧背离它。此时内极限环内里边有个稳定的不动点,或者叫汇点 (sink),其周围轨线是向里汇集的。下面我们对于两种自激振荡各看一个例子。

#### (1) 干摩擦引起的自激振荡

摩擦引起振荡的现象极为普遍,各种弦乐器(如小提琴、二胡等)发音的机理都属此类。现在我们看图 17 所示较简单的模型。传送带以恒定速度  $v_0$  前进,系在另一端固定的弹簧上的物体受传送带摩擦力  $f$  的带动而向前移,与此同时弹簧被拉伸,以更大的力向后拉那物体,当此力超过了最大静摩擦时,该物体突然向后滑动,于是弹簧缩短,向后拉物体的力减小,直到传送带又能将它带动向前为止。如此周而复始,形成振荡。在这种振荡过程中弹簧是逐渐伸张、突然松弛的,其波形如图 18 所示。这种振动属于张弛型 (relaxation) 振动,以上便是干摩擦引起自激振荡大致的物理图象,下面作些较细致的分析

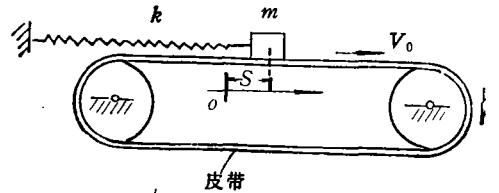


图 17 干摩擦引起自激振动的模型

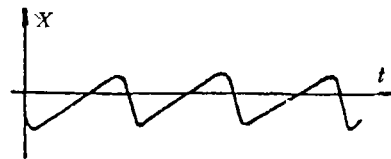


图 18 张弛振动

摩擦力  $f$  是相对速度的函数,其形式如图 19 所示,是非线性的。该物体的运动方程为

$$m\ddot{x} + r\dot{x} + kx = f(s - v_0), \quad (14)$$

其平衡位置 ( $\dot{x} = 0$ ) 为  $s_0 = f(-v_0)/k$ , 这时弹簧的拉力与摩擦力抵消。令  $x = s - s_0$ , 上式化为

$$m\ddot{x} + r\dot{x} + kx = f(x - v_0) - f(-v_0), \quad (15)$$

平衡点  $\dot{x} = 0$  附近上式右端可写为  $f'(-v_0)x$ , 移项后得

$$m\ddot{x} + [r\dot{x} - f'(-v_0)x] + kx = 0, \quad (16)$$

当  $f'(-v_0) > r$  时, 阻尼是负的, 即平衡失稳。这一点可从摩擦力做功的角度来分析。如图 19 所示,  $f'(-v_0) > 0$  意味着, 摩擦力  $f$  在作正功的区域 ( $\dot{x} > 0$ ) 里比在作负功的区域 ( $\dot{x} < 0$ ) 里大, 从而该物体在一个周期里平均说来是获能的。如果所获能量大于阻尼所引起的耗散, 平衡就会失稳。但是这种情况只能维持到该物体的速度  $\dot{x}$  不超过  $v_0$ , 一超过此限, 摩擦力就反向了, 阻止该物体的能量进一步积累。综上所述, 这个系统的相图应属图 16a 所示的软激励类型, 在失稳的不

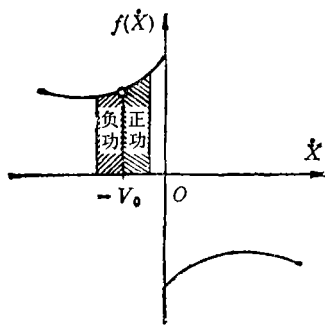


图 19 传送带的摩擦曲线与摩擦力的功

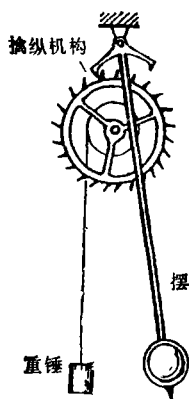


图 21 祖父的挂钟

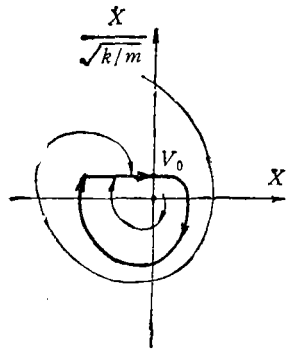


图 20 干摩擦引起振动的极限环

点外有一个稳定的极限环。要在相图上画出这个极限环，只能靠数值计算(图 20)。极限环的上部平坦部分对应于波形图 18 中沿斜线上升部分，它反映物体随着传送带一起走( $\dot{x} = v_0$ )的伸张过程；极限环下部的曲线回程对应于波形图中的陡峭下跌部分，这相当于物体摆脱摩擦力的控制后而回弹的松弛过程。极限环的形状和大小完全由系统的参量决定，它唯一地确定了振荡的幅度和周期，即自激振荡的振幅和频率是由其自身的性质决定的。

#### (2) 祖父的挂钟 (grandfather's clock)

钟表机构是典型的自激振动系统。老式挂钟是以重锤的势能为能源的(见图 21)，摆的上端装有擒纵机构，在每个周期的特定相位上能量通过它输入给钟摆。除擒纵轮推动的一刹那，摆的运动方程可采用(13)式，作两点变更：1. 用小角度近似， $\sin \theta \cong \theta$ 。2. 假设干摩擦与速度的大小无关，只与它的方向有关，因而将式中的  $\dot{\theta}$  换成  $\sin(\dot{\theta})$ 。这样，我们就可通过变量代换  $\theta/2\beta \rightarrow \theta$  将该式进一步简化为

$$\ddot{\theta} \pm 1 + \theta = 0, \quad (17)$$

式中  $\dot{\theta} > 0$  时取 + 号， $\dot{\theta} < 0$  时取 - 号。上式又可写为

$$(\theta \pm 1)'' + (\theta \pm 1) = 0, \quad (18)$$

此式所给出的相轨道是以  $(\theta = \mp 1, \dot{\theta} = 0)$  为中心的圆弧。每当  $\theta = -1, \dot{\theta} > 0$  时系统受到擒纵轮一次冲击，能量突然增加一个数值  $\lambda (\lambda > 0)$ 。于是由相图 22 中 a 点出发的轨迹为 abcde...，其中 ab 为以  $B(-1, 0)$  为中心的圆弧，故 b 的坐标为  $(-1, A-1)$ 。在 b 处能量增加  $\lambda$ ，跳到 c 点。简谐振动的能量等于振幅平方之半，b 点的振幅为  $A-1$ ，能量为  $(A-1)^2/2$ ，从

而 c 点的能量为  $\lambda + (A-1)^2/2$ ，振幅(即 c 点的纵坐标)为  $\sqrt{2[\lambda + (A-1)^2/2]} = \sqrt{(A-1)^2 + 2\lambda}$ 。cd 也是以 B 点为中心的圆弧。de 为以  $C(1, 0)$  点为中心的半圆。设 e 点的横坐标为  $-A'$ 。则  $A' = 0e - 1 = Cd - 1 = 0d - 2 = Bd - 3 = Bc - 3 = \sqrt{(A-1)^2 + 2\lambda} - 3$ 。如果从 e 出发再绕一圈。将得类似的结果。普遍地我们有从第 n 次到第 n+1 次振幅间的迭代关系：

$$A_{n+1} = \sqrt{(A_n - 1)^2 + 2\lambda} - 3, \quad (19)$$

令  $A_{n+1} = A_n = \xi$ ，我们可以找到这个迭代关系的不动点  $\xi = \lambda/4 - 1$ ，达到此点意味着轨线进入极限环，即自激振荡状态(图 23)。由于只有当  $\xi > 1$  时(即环的左边缘在 B 点之左)，极限环才会出现，这要求  $\lambda > 8$ ，即输入的能量太小了不行(图 23 中取  $\lambda = 32, \xi = 7$ )。此外，当初态落在图 23 原点附近的阴影区内时，系统的振动也激发不出来。这里阴影区的边界是个不稳定的极限环。线段 BC 是个稳定的吸引子，阴影区是它的吸引域，其外是稳定极限环的吸引域。所以，这是一个硬激励的自激振荡系统，相平面上有个死区，把重锤提上去钟也不走，还得拨弄一下钟摆，使系统跳出死区，钟才开始走起来。

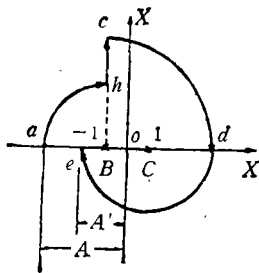


图 22 挂钟的相图

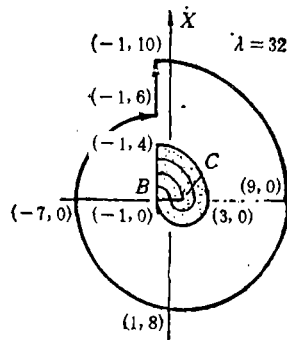


图 23 挂钟的极限环

### § 4. 奇怪吸引子和混沌

#### (1) 耗散系统相空间的收缩

我们在 § 2 里看到，阻尼摆的相图中相邻的相轨道有逐渐靠拢的趋势，而无阻尼的情况则无此现象。在相平面内取一面积为  $\Delta\tau$  的相元，随着其中相点的移动，此相元除移动和变形外，在耗散系统中其面积  $\Delta\tau$  要缩小，最后到达平衡点时， $\Delta\tau \rightarrow 0$ 。周期驱动力的存在并不改变这一结论。对于自激振荡系统情况也是这样，整个吸引域收缩到极限环上，面积也趋于 0。相空间收缩的道理可用图 24 来说明。以二维情况为例，在相平面上取一边长为  $\Delta x$  和  $\Delta \dot{x}$  的矩形。经时间间隔  $\Delta t$  后它移到的新位置，在图中用虚线表示。其左右竖边横移的速度  $\dot{x}$  不依赖于空间坐标  $x$ ，故其间距离  $\Delta x$  不变。然而，若力  $F$  与速度  $\dot{x}$  有关，则上下两横边移动的速度  $\dot{x} = F/m$  将不同。 (待续)